

Dry-Air 및 혼합가스의 절연성 평가

최은혁, 최명길, 장승호, 최상태*, 우성훈**, 김이국***, 이광식
영남대학교, *경주대학교, **경운대학교, ***경일대학교

Assess of Breakdown Characteristics about Dry-Air & N₂/O₂Mixture

Eun-Hyeok Choi, Young-kil Choi, Seung-Ho Jang, Sang-Tae Choi*, Sung-Hun Woo**, Lee-Kuk Kim***, Kwang-Sik Lee
Yeungnam Univ. · Gyeongju Univ.* · Kyungwoon Univ.** · Kyungil Univ.***

Abstract - 현재 산업사회의 발달과 더불어 신뢰성 높은 양질의 전기에너지와 운전 및 보수의 간편화, 계통운용의 신뢰성의 확보가 요구되고 있다. 또한 SF₆를 대체할 친환경적인 절연재체의 개발이 절실히 요구되고 있다. 이에 본 연구는 모의 GIS내 친환경적인 절연재료인 질소(N₂)와 산소(O₂)의 혼합가스(N₂:O₂=79:21, N₂:O₂=60:40, N₂:O₂=40:60)과 Dry-Air 기본적인 절연 특성을 밝혀, 각종 전력용 설비의 절연재체로 사용 가능함을 구명하고자 한다.

1. 서 론

SF₆ 가스는 22[kV]급부터 800[kV]에 이르기까지 신뢰성 높은 양질의 절연 가스로 유용하게 사용되고 있다. 그러나, 인체에 무해한 SF₆는 방전시 고독성, 고부식성 화합물이 발생하며, 수증기, 도전성입자 및 도체 표면 거칠음에 대한 파괴전압의 민감성, 저온하에서의 액화로 인한 사고의 위험들을 가지고 있다. 특히, 지구온난화 계수(GWP)가 이산화탄소의 약 23,900배로 매우 높고 화학적으로도 매우 안정화되어 대기중 수명도 길기 때문에 이에 따라 대기 중에 방출되었을 때 장시간 축적되어 지구 온난화에 끼치는 영향이 지대하므로 2005년 "Kyoto Protocol"에 의해 온실가스중 하나로 지정되었으며 CO₂, CH₄, HFC, PFC와 더불어 대표적인 절연가스인 SF₆가스도 오스트레일리아, 캐나다, 일본, EU 등 여러 국가에서 규제물질로 정하였다. 비록 우리나라에는 온난화가스에 대한 개도국으로 선정되어 있지만 앞에서 언급한 여러 국가들은 강제 이행국으로써 온난화물질 대체 연구 및 새로운 전력설비에 대한 연구가 활발히 진행되고 있다. 향후 우리나라 온난화가스에 대한 강제 이행국이 될 것이 확실시 되고 있으며 향후 전력선전국으로 도약하기 위해서는 우리나라로 다양한 대체 절연재 개발에 많은 연구 및 개발의 필요성이 있다고 사료된다.

따라서, 본 연구에서는 혼합가스, Dry-Air 및 SF₆의 절연파괴특성을 비교분석하여 배전급 전력설비에 사용 가능성을 검토한 연구이다.

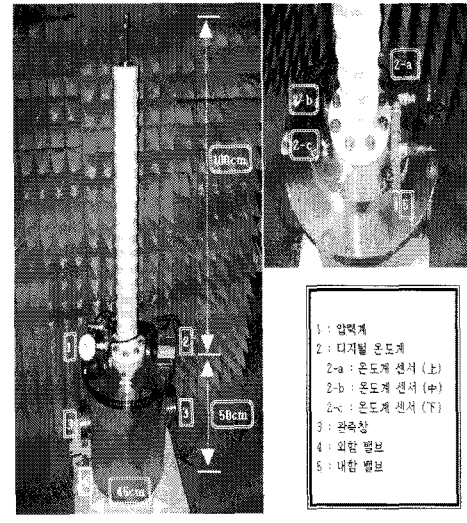
2. 본 론

2.1 실험장치 및 방법

그림 1은 본 연구에 사용된 챔버의 개략도로서 그 주요사양은 다음과 같다. 실험용 챔버 내부온도를 관측하기 위하여 온도센서(UNICON, -90[°C]~90[°C])를 실험용 챔버 내부 중심부에 전극부와 평행하게 전극 수직 중심축과 8[cm] 떨어진 곳 온도센서를 상·중·하 3개의 실험용 챔버 내부압력을 측정하기 위해 압력계(WISE, 0~15기압)를 설치하였다. 실험용 챔버 내부 온도센서와 전극부를 관측할 수 있는 관측창(작경 110[mm], 두께 20[mm])이 존재한다. 이 관측창의 제질은 투명 아크릴이며, 윤동형으로 제작 설치하였다. 실험용 챔버 내부를 진공펌프(SINKU KIKO Co.Ltd, GUD-050A, pumping speed 60ℓ/min)로 5×10⁻⁴[Torr]까지 진공을 유지할 수 있으며, 열 절연을 위하여 챔버 내·외부사이에 진공충을 두었다.

또한 챔버는 압력 변화(1~7[atm])를 위해 안전상 10기압 정도의 가압이 가능하고 압력 유지를 위해 실험용 챔버 내의 기밀성 유지가 가능하다. 온도변화(90~ -90°C) 및 유지가 가능하고 높은 절연성을 가진 SF₆ 가스의 절연내력 시험을 위해 300[kV]까지 고압인가를 할 수 있도록 절연설계가 되어있다. 또한 챔버내 가압상태에서 외부에서 캡을 75[mm]까지 상부에서 조정할 수 있도록 설계하였다. 전원장치는 DY-106 (AC 300[kV] / 120[mA])을 사용하였다.

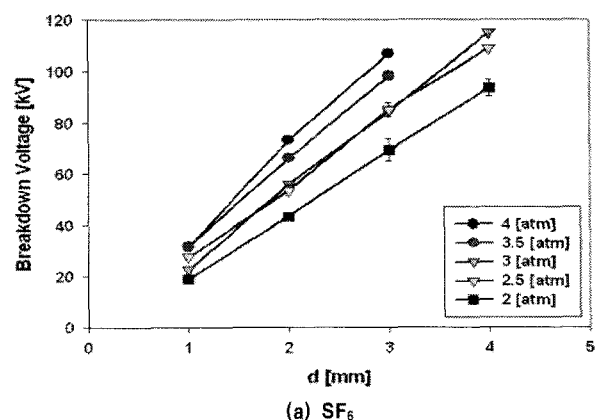
사용전극은 스테인레스 스틸인 Sphere-Sphere (구직경 41[mm], S-S)을 사용하였다. 실험방법은 가스를 투입하기 전 챔버 내를 5×10⁻⁴[Torr]까지 배기시킨 후 각각 SF₆가스, Dry-Air, 혼합가스를 주입하였다. 이에 각 압력에 따른 캡(d) 변화시 절연파괴전압(V_B) 특성 연구하였다. V_B는 10회 측정하여 평균한 값을 이용하였다.

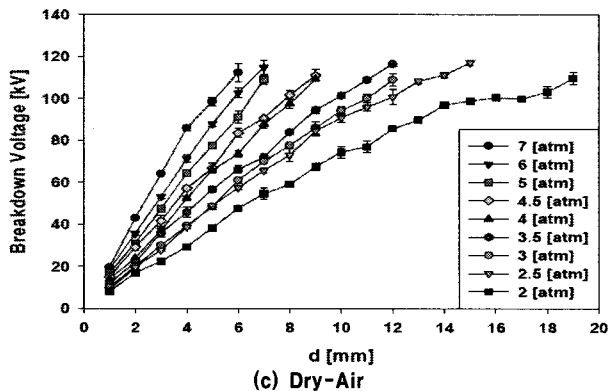
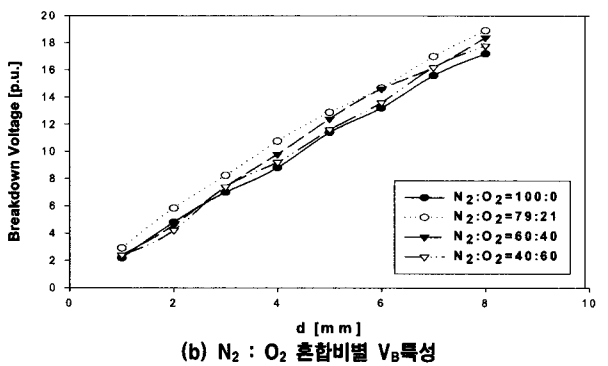


〈사진 1〉 실험용 챔버

2.1 실험결과 및 고찰

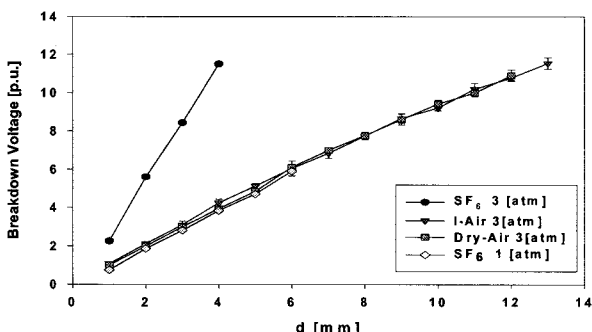
그림 1은 절연재별 절연파괴 특성을 보여주고 있다. 그림 1-a는 SF₆ 전극인 경우 평등전계 영역의 실험결과이므로 d의 증가에 따라 선형적 상승을 보여주고 있다. 그림 1-(b)는 일정압력(4[atm])일 때 N₂와 O₂의 성분비에 따른 d 변화에 따른 절연파괴전압특성을 나타내고 있다. 그림과 같이 성분비가 79:21일 때 가장 높은 V_B특성을 가지고 있음을 확인하였다. 이와 같은 결과는 대기와 비슷한 성분비 79:21일 때 상대적으로 절연파괴특성이 안정화되며, Paschen 법칙에 의해 평등전계에 가까운 전극중의 기체의 파괴전압은 압력에 비례하여 높아지고 있음을 확인하였다. 또한 그림 1-c는 Dry-Air의 일정압력에 대하여 캡 변화시 V_B특성을 나타내었다. 평등전계에서는 SF₆나 혼합가스와 같이 Paschen 법칙에 의해 선형적으로 증가함을 확인하였으며, 4[atm]의 경우 약 1.3배 정도의 캡변화시 V_B 증가율을 보여주었다.





<그림 1> SF_6 , 혼합가스 및 Dry-Air의 V_B 특성

현재 사용되고 있는 22.9[kV] 배전급에는 SF_6 가 1.1[atm]정도가 충전되어 운용되고 있다. 따라서 앞에서 실험한 모의공기(79:21), 건조공기 제조장치를 이용한 Dry-Air와 SF_6 1[atm]의 V_B 를 비교하여 모의공기와 Dry-Air의 절연특성을 평가하고 SF_6 1[atm]일때 상용하는 모의공기와 Dry-Air의 압력을 그림 2에서 도식하였다. 일정압력에서 d변화에 따른 모의공기(I-Air)가 건조공기(Dry-Air)에 비해 V_B 특성이 약 1.1배정도 높음을 확인하였다. 또한 그림과 같이 SF_6 1[atm] V_B 에 상용하는 모의공기와 건조공기의 압력은 약 3[atm] 정도로 확인하였다.



<그림 2> 3 [atm]일때 SF_6 , 모의공기 및 건조공기의 절연성 평가

국내 중전기업체가 SF_6 를 사용하지 않는 친환경개폐장치개발에 경쟁적으로 나서고 있는 가운데 한전은 현행 “25.8[kV] 가스절연개폐장치” 규격을 대체하기 위해 고체절연개폐장치, 질소가스절연개폐장치, 암축건조공기절연개폐장치 등의 규격을 검토하고 있다. 이에 본 논문에서는 SF_6 의 일정압력시 d에 따른 V_B 값에 상용하는 I-Air의 V_B 와 d를 표 1에서 나타낸다.

표 1에서 2[atm]의 SF_6 d=1일때 V_B =19에 상당하는 2[atm] I-Air는 d=2.2로 나타난다. 이 경우 SF_6 에 대한 I-Air의 V_B 의 백분율 오차는 1.5[%]로 나타나 같은 SF_6 의 V_B 에 상당하는 신뢰성을 가지고 있다. 또한 압력이 3, 4[atm]으로 상승함에 따라 SF_6 인 경우의 d=1[mm]에 상당되는 I-Air의 d는 2[atm]일 경우와 같이 동일하게 2[mm]이지만, SF_6 d가 2, 3, 4로 상승됨에 따라 상용하는 I-Air의 d는 그림 3에서 보는 것과 같이 약 3배 이상의 d를 가질 때 신뢰성이 보장되는 것으로 사료된다.

또한 표 1에서 보는바와 같이 일정압력시 d에 따른 SF_6 의 V_B 에 상용되는 I-Air의 d를 도출하였다. 한편 일정 d일때 압력에 따른 SF_6 의 V_B 에 상용하는 I-Air의 압력을 산출하면, d=1일 경우 SF_6 2[atm]에 상용하는

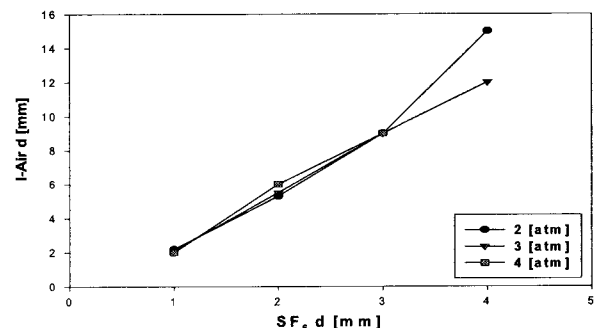
I-Air의 압력은 7[atm]으로 나타났다. 이는 2[atm]이상의 SF_6 를 사용하는 전력설비의 체적을 동일하게 할 때 I-Air의 압력을 대단히 높게 설계에 반영하여야 할 것이므로 전력설비에 용용은 큰 어려움이 따를 것으로 판단된다.

이에 25.8[kV]에 사용하는 1.1[atm] SF_6 에 상용하는 I-Air의 기압을 도출하고자 그림 3와 같이 SF_6 1[atm]과 I-Air의 절연파괴전압을 비교하여 나타내었다.

<표 1> 일정압력시 d에 따른 SF_6 의 V_B 에 상용되는 I-Air의 d

기압 (atm)	구 분	SF_6 d (mm)			
		1	2	3	4
2	SF_6 V_B (kV)	19	43.4	69.4	93.6
	I-Air V_B (kV)	19.3	43.7	70.4	98.4
	d	2.2	5.3	9	15
3	오차 (%)	1.5	0.7	1.44	0.85
	SF_6 V_B (kV)	22.6	56	88	109
	I-Air V_B (kV)	22.18	55.95	86.6	107.8
4	오차 (%)	-1.9	-0.09	-1.61	-1.11
	SF_6 V_B (kV)	31.6	73.4	107	
	I-Air V_B (kV)	31.6	73.4	104	
5	오차 (%)	0	0	-2.88	

* : 인공신경망에 의한 추정치



<그림 3> 일정압력시 d에 따른 SF_6 V_B 에 상용되는 I-Air의 d

3. 결 론

본 논문은 SF_6 , Dry-Air 및 혼합가스의 절연특성을 구명하고, 제조공기를 배전급 전력기기에 사용가능성을 평가한 연구로 다음과 같은 결론을 얻었다.

가. SF_6 는 압력과 캡이 증가됨에 따라 절연파괴전압도 비례적으로 상승함을 확인하였으며, Paschen의 법칙에 의존한 결과를 얻었다.

나. 제조공기 및 Dry-Air도 압력과 캡이 증가됨에 따라 절연파괴전압이 상승하였다. 하지만, 낮은 압력에서는 캡 증가에 따른 절연파괴전압이 포화됨에 따라 Paschen의 법칙을 벗어남을 확인하였으며, SF_6 의 절연내력에 비하여 모의공기의 절연내력은 2.5배에서 3배정도로 절연내력이 현저히 떨어짐을 확인하였다.

다. SF_6 1[atm]의 절연파괴전압에 상용하는 모의공기의 압력이 3[atm]정도인 것이 확인되었다. 한편 SF_6 2[atm]일때 상용하는 모의공기의 압력이 7[atm]이상으로 크게 높게 되어 SF_6 2[atm]이상의 전력설비의 절연재를 제조공기로 대체시는 모의공기의 압력과 체적의 증가시켜 전력설비 설계에 반영되어야 될 것이다.

[참 고 문 헌]

- Toshio Suzuki, "Future Power System & Challenges in Electric Power Engineering", 8th International Symposium on High Voltage Engineering, Yokohama, Japan, August 23-27, 1993.
- 土森紀之, 長澤隆士, “21世紀の電力エネルギーと輸送技術III・系統成・運用の高速化”, 電學誌, Vol. 112, No. 8, pp592-596, 1992
- R.J.Meats : 3rd Int. Conf., "Gas Discharge", London, Sep, 1974
- 이광식, 최은혁 외, “인공신경망을 이용한 방전전하량 추정에 관한 연구”, 한국조명전기설비학회 추계 학술대회논문집, 2006.11
- 이광식, 최은혁 외, “배전급 전력설비를 위한 제조공기의 절연성 평가” 한국조명전기설비학회 논문집 22-2-16, 2008.02